

- 1 Лихтер Я. И — Радиотехника и электроника, 1956, 1, № 10, с 1295.
- 2 Горбачев А. А., Данилов В. И. — Изв. вузов — Радиофизика, 1970, 13, № 1, с. 93.
- 3 Каган А. М. — ДАН СССР, 1963, 153, № 3, с. 522.
- 4 Le Cam L. Proc III Berkeley Symposium on Math Statistics and Probability, 1956, part 1.
- 5 Горбачев А. А., Колданов А. П. — Радиотехника, 1979, 34, № 11, с. 35.
- 6 Каган А. М. — Труды МИАН, 1965, 79, с. 26.
- 7 Дынкин Е. Б. — Успехи математических наук, 1951, 6, № 1 (41), с. 68.

Научно-исследовательский  
радиофизический институт

Поступила в редакцию  
6 июня 1981 г.,  
после доработки  
6 апреля 1982 г.

УДК 538 56

## О ДИПОЛЬНОМ МОМЕНТЕ И ТЕНЗОРЕ ПОЛЯРИЗУЕМОСТИ МАЛЫХ Тел ЦИЛИНДРИЧЕСКОЙ ФОРМЫ

*А. И. Сиротников*

Известно, что для тел, характерные размеры которых меньше длины волны  $\lambda$  падающего поля, многие важные характеристики могут быть получены с помощью вектора полного дипольного момента  $\mathbf{P}$  тела [1]:

$$\mathbf{P} = V \hat{\alpha} \mathbf{E}^{(e)}, \quad (1)$$

где  $V$  — объем тела,  $\hat{\alpha}$  — тензор поляризуемости,  $\mathbf{E}^{(e)}$  — напряженность внешнего электрического поля.

Как правило, дипольные моменты и соответствующие тензоры поляризуемости вычисляются благодаря связи  $\hat{\alpha}$  с тензором  $\hat{n}$  коэффициентов деполяризации [1]:

$$\hat{\alpha} = (1/4\pi) \hat{n}^{-1}.$$

Поскольку коэффициенты деполяризации, в свою очередь, строго вводятся лишь для эллипсоида [2], вычисление  $\mathbf{P}$  и  $\hat{\alpha}$  для тел незллипсоидальной формы представляет значительные трудности [3]. Для цилиндрических дисков и стержней иногда пользуются формулами для  $\hat{n}$  и  $\hat{\alpha}$  сплюснутых или вытянутых вписанных сферондов (для очень тонких стержней существует [1] приближенная формула), что приводит к большим расхождениям с экспериментом. Кроме того, неизвестна та степень «тонкости» цилиндра, начиная с которой приближение вписанного или бесконечно тонкого сфероида даст результат с заданной погрешностью.

Покажем, что в случае

$$\delta \ll a, l, \quad (2)$$

где  $\delta$  — глубина проникновения поля,  $2a$  и  $2l$  — диаметр и длина цилиндра, можно получить несложные приближенные формулы для  $\mathbf{P}$  и  $\hat{\alpha}$ .

Введем в рассмотрение сфероид из того же материала, что и цилиндр (для сфероида, следовательно, выполняется соотношение, аналогичное (2)), и предположим, что сфероид обладает тем же дипольным моментом, что и цилиндр, т. е.

$$\mathbf{P}_{\text{сф}} = \mathbf{P}_{\text{ц}} \quad (3)$$

при выполнении условий:

- 1) площадь поверхности сфероида равна площади поверхности цилиндра;
- 2) соотношение полуосей сфероида равно соотношению  $a/l$  цилиндра.

Несмотря на достаточно очевидный характер делаемых предположений математического доказательства указанной эквивалентности нет, поэтому была проделана экспериментальная проверка, результаты которой будут приведены ниже.

Свойства эквивалентности (п. 1) и подобия (п. 2) позволяют однозначно определить параметры сфероида и, в частности, его объем. Используя известные формулы для площадей поверхности сфероида и цилиндра, получаем

$$V_{\text{сф}} = 4\pi a^2 l \sigma^{3/2}, \quad (4)$$

где

$$\sigma = (a/l + 2)/(a/l + \nu)$$

— квадрат отношения толщины сфероида к длине цилиндра,

$$\nu = \begin{cases} [(a/l)^2 - 1]^{-1/2} \ln \{ [(a/l)^2 - 1]^{1/2} + a/l \} & \text{при } a > l \\ [1 - (a/l)^2]^{-1/2} \arccos(a/l) & \text{при } a < l \end{cases}$$

Исходя из предполагаемого равенства (3) и выражения (4), получаем

$$P_{ц} = (2/3) \sigma^{3/2} V_{ц} \hat{\alpha}_{цф} E^{(e)}. \quad (5)$$

Сравнивая (1) и (5), видим, что тензору поляризуемости цилиндра можно приписать значение

$$\hat{\alpha}_{ц} = (2/3) \sigma^{3/2} \hat{\alpha}_{цф}.$$

Очевидно также, что можно ввести и тензор  $\hat{n}_{ц}$  коэффициентов деполаризации цилиндра:

$$\hat{n}_{ц} = (3/2) \sigma^{-3/2} \hat{n}_{с'}, \quad (6)$$

где  $\hat{n}_{сф}$  — тензор коэффициентов деполаризации любого подобного сфероида. Поскольку подобным является также и вписанный сфероид, то  $\hat{n}_{сф}$  в (6) можно рассчитывать по известным формулам [1], заменив соответствующие оси сфероида диаметром и длиной цилиндра.

В основу экспериментальной проверки было положено соотношение [1]

$$M = [P, E^{(e)}],$$

где  $M$  — момент пондеромоторных сил, действующих на тело, помещенное в поле  $E^{(e)}$ . Момент определялся абсолютным способом по методу Каллена [4], основанному на инвариантности действия для электромагнитного резонатора при его адиабатической деформации. Расхождение рассчитанных по приведенным формулам значений  $M$  с измеренными для алюминиевых дисков ( $2a = 10-20$  мм,  $2l = 1$  мм,  $\lambda = 10$  см) лежит в пределах погрешности эксперимента (3%). При расчете по известному способу замена цилиндров вписанными сфероидами приводит к расхождению  $(\sigma^{3/2} - 1)100\%$ . Отметим, что и в ранее выполненных работах [5] перерасчет по новым формулам приводит к совпадению с экспериментом. В связи с тем, что  $\delta \sim (\lambda/g)^{1/2}$ , где  $g$  — проводимость, можно ожидать хорошего совпадения результатов расчета с экспериментом в широком диапазоне частот и для различных проводящих материалов.

График для  $\sigma^{3/2}$  в зависимости от соотношения  $a/l$  приведен на рисунке.

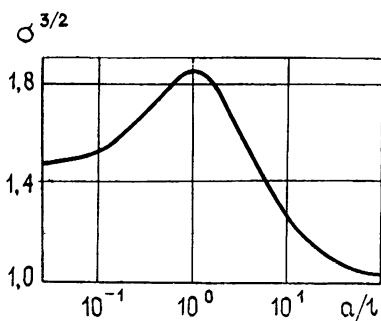


Рис. 1.

## ЛИТЕРАТУРА

- 1 Ландау Л. Д., Лифшиц Е. М. Электродинамика сплошных сред — М: Физматгиз, 1959.
- 2 Зоммерфельд А. Электродинамика. — М: ИЛ, 1958
- 3 Рамм А. Г. — Изв. вузов — Радиопизика, 1971, 14, № 4, с 613.
- 4 Cullen A. L — Proc IEE, 1952, 99, part 4, p 122.
- 5 Валитов Р. Р., Жилков В. С., Магда А. Н. и др. — В кн. Радиотехника. — Харьков: Гос. ун-т, 1971, вып. 17, с 80

Харьковский институт  
радиоэлектроники

Поступила в редакцию  
6 июля 1981 г,  
после доработки  
16 апреля 1982 г.